

# RC 發振器の周波數偏移について

荒井 昌 昭

## On the Frequency Deviations of RC-Oscillator

by Masaaki Arai

**ABSTRACT :** The RC-oscillator has no resonance circuit like a tank circuit of LC-oscillator, so its oscillating frequencies are influenced by the characteristics of amplifier-part compensating a loss of selective circuit, as a result of its low Q-value.

Then the frequency deviations of this sort, being sometimes several ten per cents or more near the lower and upper frequency limits, were investigated theoretically and experimentally.

Other causes of frequency deviations and fluctuations were also mentioned.

(1950年11月10日受理)

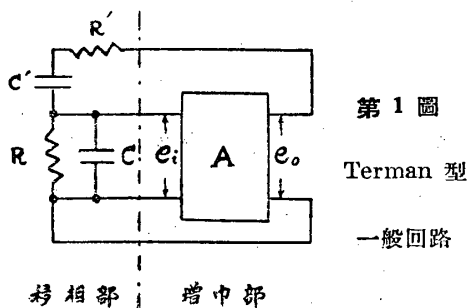
### 1. ま え が き

1938年, Scott が RC 發振器の可能性を明かにしてから<sup>1)</sup> その進歩發達はめざましく, 内外の文献も亦殆んど枚擧に暇のない程である.<sup>2)</sup>

RC 發振器は發振状態に陥つた(正饋還)増幅器であつて, LC 發振器のタンク回路や水晶振動子に相當する Q の高い共振選擇回路を持つていない.<sup>3)</sup> 従つて發振周波數は移相部のみならず, 増幅部の特性によつて決定的な影響を受ける. このことは Terman 等に依つて既に指摘されているが,<sup>4), 5)</sup> 特にその位相特性が周波數偏移の大きな原因となることを理論及び實驗の両面から定量的に確かめることが出來た.

又各種移相回路の得失及び安定性に就いても既に詳しく論ぜられている.<sup>6) 7)</sup> 筆者は Terman 型試作發振器に就いて周波數偏移及び變動(fluctuation)を調べ, 種々興味ある結果を得た.

### 2. Terman 型 RC 發振器の發振周波數, 發振條件



第 1 圖

Terman 型

一般回路

移相部 | 増幅部

Terman 型 (Wien ブリッジ型を含む) の一般回路は第 1 圖に示すようなものであつて, その入力電壓  $e_i$  と出力電壓  $e_o$  との間には次の關係が成立つ.

$$e_o = A e_i, \quad e_i = \frac{Z}{Z + Z'} e_o \quad (1)$$

但し  $A =$  増幅度 (位相を含む)

$$\left. \begin{aligned} \frac{1}{Z} &= \frac{1}{R + j\omega C}, \quad Z' = R' - j \frac{1}{\omega C'} \\ \omega &= 2\pi f, \quad j = \sqrt{-1} \end{aligned} \right\} (2)$$

この場合,  $R$  は  $C$  の絶縁抵抗を,  $C$  は真空管の入力容量, 對地漂游容量を,  $R'$  は増幅部の出力抵抗を,  $C'$  は補償用トリマーの容量を含んでいる

$$\left. \begin{aligned} r &= 1 + \frac{R'}{R} + \frac{C}{C'} \text{ とすれば} \\ 1 + \frac{Z'}{Z} &= 1 + \frac{R'}{R} + \frac{C}{C'} + j(\omega R' C - \frac{1}{\omega R C'}) \\ &= r + j(\omega R' C - \frac{1}{\omega R C'}) \end{aligned} \right\} (3)$$

$$\therefore r + j(\omega R' C - \frac{1}{\omega R C'}) - A = 0 \quad (4)$$

一般に増幅度  $A$  は周波數の函数であつて, 振幅特性が平坦で位相變化のない中音部, 振幅が減少し位相の進む低音部, 及び位相の遅れる高音部に分けて考えねばならない.<sup>8)</sup> 従つてこの點を考慮しない場合には, 超低周波及び超音波領域の周波數計算に相當の誤差を伴ふ.

中音部に於ては,  $A$  は實數  $A_0$  (位相變化がない) となるから, (3) 式より次の發振條件, 發振周波數を得る (Nyquist の條件).

$$A_0 = r, \quad f = f_0 = \frac{1}{2\pi\sqrt{RR'CC'}} \quad (5)$$

従つて増幅度  $A_0$  は  $r$  より大きい正數でなければならぬから、二段増幅(中音部に於ける位相變化 $360^\circ$ )を必要とする。

$$R = R', \quad C = C' \quad \text{とすれば}$$

$$A_0 = 3, \quad f = f_0 = \frac{1}{2\pi RC} \quad (6)$$

これが今適用いられて來た發振條件及び發振周波數の計算式である。

次に周波數特性を考慮した一般計算に移らう。

(5) 式の計算に際しては  $A = A_0$  と置いたが、抵抗容量結合増幅器 ( $n$  段) の増幅度は次の式で與えられる。<sup>8)</sup>

$$A = (-1)^n \prod \frac{\mu/R_p}{\left(\frac{1}{R_p} + \frac{1}{R_c} + \frac{1}{R_g}\right) + j\omega C_s - j\frac{1}{\omega C_0} \left(\frac{1}{R_p} + \frac{1}{R_c} + j\omega C_{s1}\right) \left(\frac{1}{R_g} + j\omega C_{s2}\right)} \quad (7)$$

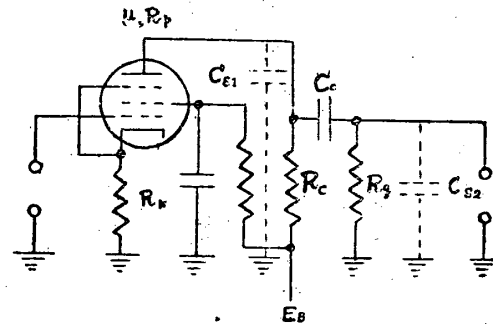
$$\left. \begin{aligned} \frac{1}{R_{c0}} &= \frac{1}{R_p} + \frac{1}{R_c} + \frac{1}{R_g}, \quad \frac{1}{R_L} = \frac{1}{R_p} + \frac{1}{R_c}, \quad \bar{R}_p = R_p + (\mu + 1)R_g, \\ C_s &= C_{s1} + C_{s2}; \quad A_0 = (-1)^n \prod \frac{\mu R_{c0}}{R_p}, \quad \tau_l = (R_g + R_L)C_c, \\ \tau_h &= R_{c0}(C_{s1} + C_{s2}) + \frac{C_{s1}C_{s2}}{C_c} \approx R_{c0}C_s, \quad \epsilon = \frac{C_{s1}}{C_c} \frac{R_{c0}}{R_g} + \frac{C_{s2}}{C_c} \frac{R_{c0}}{R_L} \end{aligned} \right\} \quad (8)$$

と置けば

$$A = A_0 \prod \frac{1}{(1 + \epsilon) + j\left(\omega\tau_h - \frac{1}{\omega\tau_l}\right)} \quad (9)$$

Terman 型では  $n=2$ 。普通  $C_{s1}, C_{s2} \ll C_c$ 、又  $R_{c0}, R_L < R_g$  であるから  $\epsilon \ll 1$  ( $\tau_l', \tau_h' =$  二段目の時定數)。

$$\therefore A \approx A_0 \frac{1}{1 + j\left(\omega\tau_h - \frac{1}{\omega\tau_l}\right)} \cdot \frac{1}{1 + j\left(\omega\tau_h' - \frac{1}{\omega\tau_l'}\right)} \quad (10)$$



第2圖 抵抗容量結合増幅器一般回路

これを (4) 式に代入すれば

$$\left\{ r + j\left(\omega R' C - \frac{1}{\omega R C'}\right) \right\} \left\{ 1 + j\left(\omega\tau_h - \frac{1}{\omega\tau_l}\right) \right\} \left\{ 1 + j\left(\omega\tau_h' - \frac{1}{\omega\tau_l'}\right) \right\} = A_0 \quad (11)$$

$$\left. \begin{aligned} x &= j\omega\tau, \quad \tau = \sqrt{RR'CC'} = \frac{1}{2\pi f_0} \quad (5) \text{ 式参照}; \\ \alpha_i &= \frac{\tau}{\tau_l}, \quad \alpha_i' = \frac{\tau}{\tau_l'}, \quad \alpha_h = \frac{\tau_h}{\tau}, \quad \alpha_h' = \frac{\tau_h'}{\tau}; \quad \alpha = \sqrt{\frac{R'C}{RC'}} \end{aligned} \right\} \quad (12)$$

とすれば

$$(\alpha x + r + \alpha \frac{1}{x}) \{ \alpha_h \alpha_h' x^2 + (\alpha_h + \alpha_h')x + (1 + \delta) \} + (\alpha_i + \alpha_i') \frac{1}{x} + \alpha_i \alpha_i' \frac{1}{x^2} = A_0 \quad (13)$$

$$\text{但し} \quad \delta = \frac{\tau_h'}{\tau_l} + \frac{\tau_h}{\tau_l'} \quad (14)$$

普通  $\tau_l \gg \tau_h$  ( $\tau_l \approx 10^{-2}$ ,  $\tau_h \approx 10^{-3}$ ) であるから  $\delta \ll 1$  となり省略出来る。(13) 式を整頓すれば、

$$\begin{aligned} &\alpha_h \alpha_h' x^6 + \{ (\alpha_h + \alpha_h') + \frac{\gamma}{\alpha} \alpha_h \alpha_h' \} x^5 + \left\{ 1 + \frac{\gamma}{\alpha} (\alpha_h + \alpha_h') + \alpha_i \alpha_i' \right\} x^4 \\ &+ \left\{ (\alpha_h + \alpha_h') + \frac{\gamma - A_0}{\alpha} + (\alpha_i + \alpha_i') \right\} x^3 \\ &+ \left\{ 1 + \frac{\gamma}{\alpha} (\alpha_i + \alpha_i') + \alpha_i \alpha_i' \right\} x^2 + \left\{ (\alpha_i + \alpha_i') + \frac{\gamma}{\alpha} \alpha_i \alpha_i' \right\} x + \alpha_i \alpha_i' = 0 \end{aligned} \quad (15)$$

上式の實數部, 即ち  $x$  の偶數次の項の和を 0 とし,  $y = -x^2 = (\omega\tau)^2$  と置けば

$$\alpha_n \alpha_n' y^2 - \left\{ 1 + \frac{\tau}{\alpha} (\alpha_n + \alpha_n') + \alpha_n \alpha_n' \right\} y^2 + \left\{ 1 + \frac{\tau}{\alpha} (\alpha_l + \alpha_l') + \alpha_l \alpha_l' \right\} y - \alpha_l \alpha_l' = 0 \quad (16)$$

$\alpha_n, \alpha_n'; \alpha_l, \alpha_l' \ll 1$  とし二次以上の微少量を省略すれば,

$$y = \frac{1 + \frac{\tau}{\alpha} (\alpha_l + \alpha_l')}{1 + \frac{\tau}{\alpha} (\alpha_n + \alpha_n')} \quad (17)$$

$$\left. \begin{aligned} \frac{\tau}{\alpha} (\alpha_l + \alpha_l') &= \frac{\tau}{\alpha} \left( \frac{\tau}{\tau_l} + \frac{\tau}{\tau_l'} \right) = \tau \cdot \frac{\tau}{\alpha} \left( \frac{1}{\tau_l} + \frac{1}{\tau_l'} \right) = \frac{f_{ll}}{f_0} \\ \frac{\tau}{\alpha} (\alpha_n + \alpha_n') &= \frac{\tau}{\alpha} \left( \frac{\tau_h}{\tau} + \frac{\tau_h'}{\tau} \right) = \frac{1}{\tau} \cdot \frac{\tau}{\alpha} (\tau_h + \tau_h') = \frac{f_0}{f_{hh}} \\ f_0 &= \frac{1}{2\pi\tau}, \quad f_{ll} = \frac{1}{2\pi} \frac{\tau}{\alpha} \left( \frac{1}{\tau_l} + \frac{1}{\tau_l'} \right), \quad f_{hh} = \frac{1}{2\pi} \frac{\tau}{\alpha} (\tau_h + \tau_h') \end{aligned} \right\} \quad (18)$$

と置けば, 發振周波數  $f$  は次のようになる。

$$f = f_0 \sqrt{\frac{1 + (f_{ll}/f_0)}{1 + (f_0/f_{hh})}} \quad (19)$$

一方, (15) 式の虚數部=0 と置き,  $y = -x^2$  とすれば

$$\left\{ (\alpha_n + \alpha_n') + \frac{\tau}{\alpha} \alpha_n \alpha_n' \right\} y^2 - \left\{ (\alpha_n + \alpha_n') + \frac{\tau - A_0}{\alpha} + (\alpha_l + \alpha_l') \right\} y + \left\{ (\alpha_l + \alpha_l') + \frac{\tau}{\alpha} \alpha_l \alpha_l' \right\} = 0 \quad (20)$$

$y$  の値として (17) 式を代入し, 二次以上の微少量を省略すれば  $A_0 = \tau$  (21)

結局, 發振周波數に對する増幅部の影響は大きいが発振條件に對する影響は小さく, 定出力發振の可能性を示している。

超低周波に於ては,  $\alpha_l, \alpha_l'$  が相當の大きさになるので, 積  $\alpha_l \alpha_l'$  は無視出來なくなる。併し  $\alpha_n, \alpha_n' \approx 0$  となるから (16) 式は

$$y^2 - \left\{ 1 + \frac{\tau}{\alpha} (\alpha_l + \alpha_l') + \alpha_l \alpha_l' \right\} y + \alpha_l \alpha_l' = 0 \quad (22)$$

この式は簡単に解けるが, 次の解を用いる方が便利である。

$$y = 1 + \left( \frac{f_{ll}}{f_0} \right) + k_l^2 \left( \frac{f_{ll}}{f_0} \right)^2 / \left\{ 1 + \left( \frac{f_{ll}}{f_0} \right) \right\} \quad (23)$$

$$\text{但し } k_l = \left( \frac{\alpha}{2\tau} \right) \left( \frac{\sqrt{\tau_l \tau_l'}}{\tau_l + \tau_l'} \right) \leq \left( \frac{\alpha}{2\tau} \right) \quad (24)$$

$f_0 \gg f_{ll}$  の場合には (23) 式の第三項は殆んど必要がなく, (17) 式と一致する。従つて特に超低周波を望まない限り, (17) 式で充分であらう (第3圖)。

$$\xi = \frac{f_0}{f_{ll}}, \quad \eta = \frac{f}{f_{ll}} \quad \text{とすれば (23) 式は}$$

$$\eta^2 = \xi(\xi + 1) + k_l^2 / (\xi + 1) \quad (25)$$

$$f_0 \gg f_{ll} \quad \text{とすれば } \eta \approx \xi + \frac{1}{2}$$

$$\therefore f \approx f_0 + \frac{f_{ll}}{2} \quad (26)$$

低音部に於ける發振周波數の概略値を求める場合には, (26) 式が最も便利である。<sup>5)</sup>

$$\text{發振條件: } A_0 = \tau \left\{ 1 + \left( \frac{\alpha}{\tau} \right)^2 \left( 1 - \frac{1}{y} \right) \left( \frac{f_{ll}}{f_0} \right) - k_l^2 \frac{1}{y} \left( \frac{f_{ll}}{f_0} \right)^2 \right\} \quad (27)$$

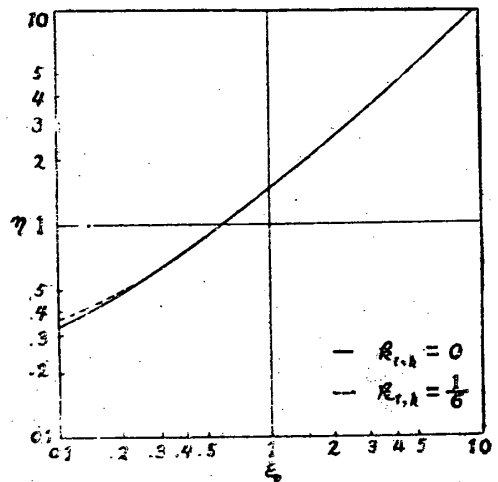
これに (23), (24) 式を代入すればよい。

$$\text{例えば } R=R', C=C'; \tau_l = \tau_l' \quad \text{即ち } k_l = \frac{1}{6} :$$

(24) 式,  $f_0 = f_{ll}$  とすれば

$$\therefore f = 1.42 f_0, \quad A_0 = 1.04 \times 3$$

周波數は半オクターブもずれるが, 必要増幅度  $A_0$



第3圖  $\xi - \eta$  曲線 (25), (28) 式

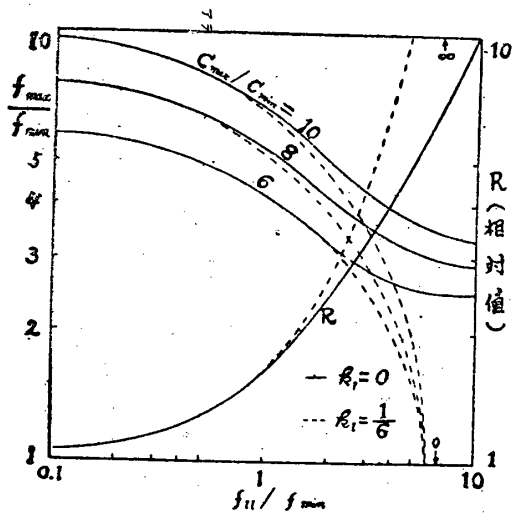
の増加は 0.3 db に過ぎない。この場合  $A_0$  の増加は發振強度の減少又は發振停止を意味する (實驗參照)。超音波領域に於ける計算も同様である。

$$\tau^2 = \xi(\xi + 1) + k_h^2 / (\xi + 1) \quad (28)$$

$$\text{但し } \xi = \frac{f_{hh}}{f_0}, \tau = \frac{f_{hh}}{f}; k_h = \left(\frac{\alpha}{2\tau}\right) \left(\frac{\sqrt{\tau_h \tau_h'}}{\tau_h + \tau_h'}\right) \quad (29)$$

このように、低音部に於ては發振周波数が豫期された値より増加し、高音部に於ては減少するから、カバーしうる周波數帯は狭くなり、周波數連續可變式 RC 發振器の設計に際し、大きな問題となる。

可變要素としてバリコンを用い、最低周波數  $f_{min}$  が設計目標として與えられた場合、低音部の周波數帯の延び  $f_{max}/f_{min}$  が  $f_u$  に依つてどのような影響を



第4圖 周波數帯の延び  $\frac{f_{max}}{f_{min}}$ , 抵抗  $R$

受けるか、又その時移相部の抵抗  $R(R')$  の値をどの程度變化させねばならないかを計算した (第4圖)。

周波數特性が理想的な場合には  $f_u \approx 0$  となり、周波數帯の延び  $f_{max}/f_{min}$  は容量の變化率  $C_{max}/C_{min}$  に一致する。

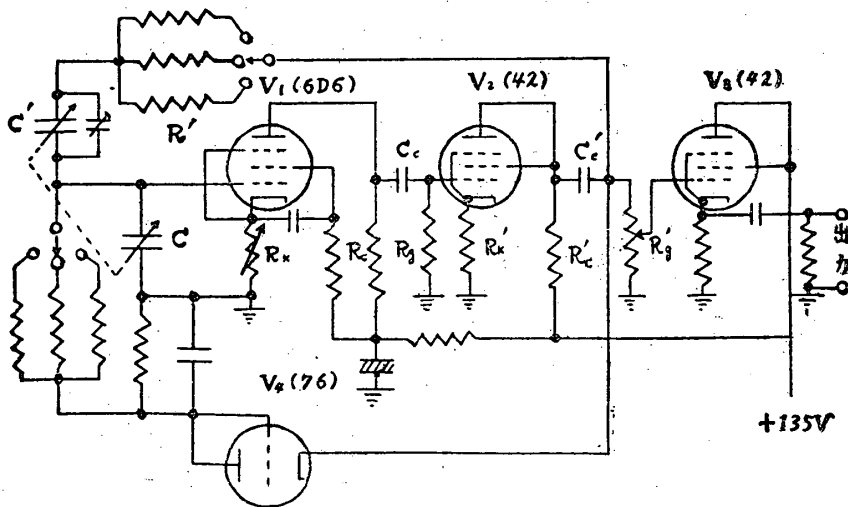
發振器は増幅器と異り、振幅を制御する爲に何等かの非直線回路を有しており、しかも有限振幅と看做されるので、これ迄の取扱いは嚴密に言えば、正しくない。<sup>9)</sup> しかし歪等に依る周波數偏移は遙かに小さいから、殆んど問題にならない。

### 3. RC 發振器の試作及び實驗

スピーカーのような音響機器測定用として、50c/s ~ 10kc を目標にして設計した。バリコンは絶縁のよい物を選び、絶縁接手を用いてボディ・エフェクトを避けた。ダイヤルは全目盛 100, パーニャで 0.1 目盛迄讀める。バリコン容量は 10~430  $\mu\text{F}$  で漂游容量、増幅部の特性等を考慮しても、抵抗  $R$  を三段切替にすれば全周波數帯をカバーできる筈である。即ちこの場合の  $R$  の値は次のようになる。例えば  $C_s = 40 \sim 60 \mu\text{F}$ ;  $f_u = 20\text{c/s}$ ,  $f_m = 50\text{kc}$  (實驗參照) とすれば  $R = R' = 9\text{M}\Omega$ ,  $1.3\text{M}\Omega$ ,  $200\text{k}\Omega$ 。

振幅制御回路は、76 の二極管接續による A.V.C. 方式で、緩衝管として 42 のカソード・フォロワーを用い負荷の影響を少くした (第5圖)。

周波數の測定には標準電波<sup>10)</sup> で校正した 1000 c/s 音叉發振器とブラウン管を用い、開放端子電壓が 5V



第5圖 試作 RC 發信器回路圖

(真空管電圧計による) になるように  $R_k$  を調整しながら測定した.  $R_g'$  はフル・ゲインの位置に置く. この場合, 未知周波数  $f_x$  と標準周波数  $f_s$  との比を  $N_L$  とする.

$$f_x = N_L \cdot f_s \quad (30)$$

回路定数は次の通り (第5図).

$$R_k = 10k\Omega VR, R_c = 20k\Omega, C_c = 0.1\mu F,$$

$$R_g = 500k\Omega$$

$$R_k' = 800\Omega, R_c' = 5.2k\Omega, C_c' = 0.1\mu F,$$

$$R_g' = 500k\Omega VR$$

$$C_s = C_s' = 50\mu F \text{ (假定), 勿論, } R = R', C = C'.$$

$$V_1 (6D6) : R_p \gg R_g, R_c, V_2 (42) : R_p' = 3.0k\Omega$$

(1) 特性の良い場合

$$f_u = 19 \text{ c/s}, f_{uh} = 48 \text{ kc} \quad (8), (18) \text{ 式}$$

$$k_l = 0.16, k_h = 0.12 \quad (24), (29) \text{ 式}$$

(2) 低音特性の悪い場合  $C_c = 0.01\mu F$

$$f_u = 97 \text{ c/s}, f_{uh} = 48 \text{ kc}$$

$$k_l = 0.10, k_h = 0.12$$

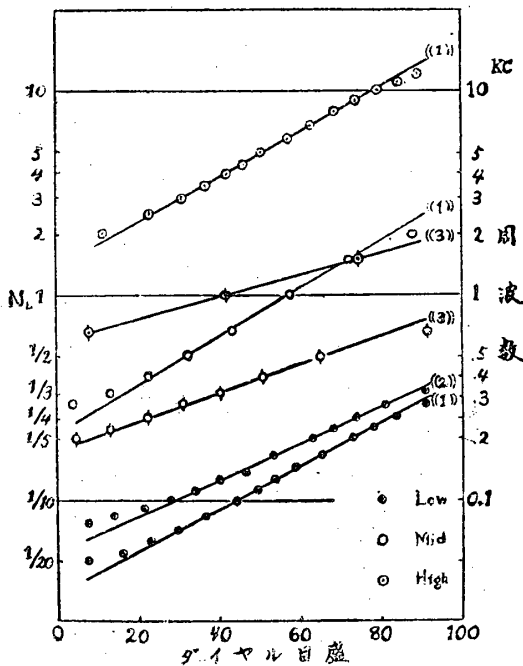
(3) 高音特性の悪い場合 6D6 のプレート,

アース間に  $0.01\mu F$  を入れた.

$$f_u = 19 \text{ c/s}, f_{uh} = 252 \text{ c/s}$$

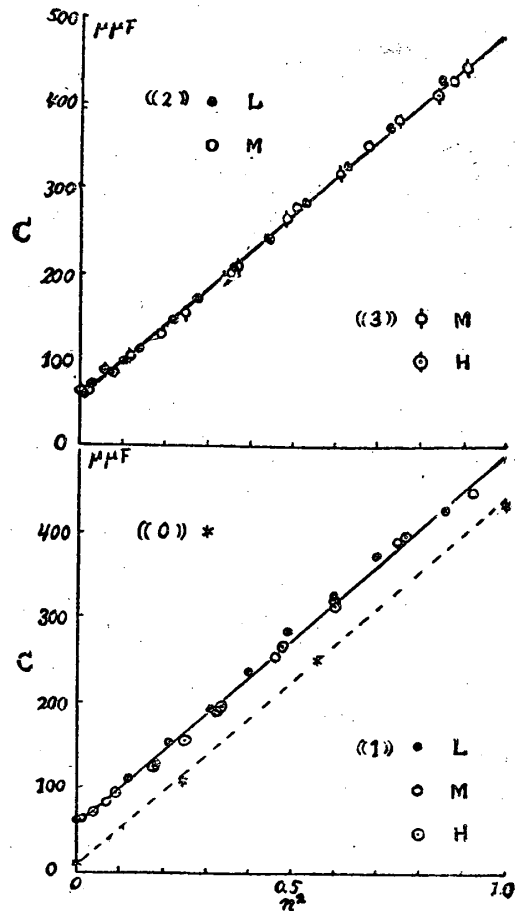
$$k_l = 0.16, k_h = 0.01$$

この場合には (8), (18) 式の  $\epsilon, \epsilon', \delta$  をも考慮せねばならない (第6図).



第6図 周波数特性に依る共振周波数の変化

$R, C$  の値を測定して  $f_0$  を求め,  $f_u, f_{uh}$  を考慮して共振周波数  $f$  を計算し, 実測値と比較すれば §2 の理論が確かめられる等であるが, バリコンのような小容量の測定は普通のインピーダンスブリッジでは精度が上らないので, 実測周波数  $f$  からバリコン容量を逆算した結果各測定に於て略々等しい値が得られた (第7図).



第7図 バリコン容量  $C$  の計算

$C = C_{max}$  の時 1.0,  $C = C_{min.}$  の時 0 となるように規定したダイヤル目盛を  $n$  とすれば, 第7図から次の関係式が得られる.

$$C = 4C + n^2C_0 \quad (31)$$

$4C \approx 0$  とすれば

$$f = \frac{1}{2\pi\sqrt{LC}} \propto \frac{1}{n}$$

となり, 波長直線型であることを示している.

測定番號	$4C_{\mu\mu F}$	$C_0_{\mu\mu F}$
((1))	60	430
((2))	52	435
((3))	52	435
((0))	10	420

但し((0))は製品に添附されていた測定成績で、参考の爲に掲げた(この場合の $4C$ は漂游容量を含まない)。

#### 4. その他の原因に依る周波數偏移及び變動

今迄は増幅部の周波數特性に依る周波數偏移を考えたが、その外に次のようなものが考えられる。

- (1) 發振強度の調節 (2) 利得の調節 (3) 負荷の接続 (4) 真空管の挿換, 等に依る周波數偏移及び
- (5) 電源電壓の變動に依る周波數變動, (6) 原因不明の偶發變動。

これ等の周波數の變化は前記の音叉發振器 (1000 c/s)を標準にしてダイヤル目盛の移動から測定した。

なお、これ等の實驗には((1))を用いた。

(1)  $R_k$ を變えて出力電壓を0から5Vにすると、約0.5目盛増加する(第8圖)。然るに第7圖の曲線((1))の傾斜から  $\frac{\Delta f}{f} \approx 2.6\%$  目盛 となることが判るから、周波數は約1.3%減少した譯である。この變化はダイヤル目盛の位置にも、バンドの切換にも殆んど影響されないから歪による周波數偏移と考えられ事實そのように考えれば定性的ながら一應の説明が得られる。Terman型 ( $R=R', C=C'$ ) の場合に於ては歪率  $K_i$  に對して周波數偏移  $\frac{\Delta f}{f}$  は(32)式で與えられるから、 $\frac{\Delta f}{f} \approx -1.3\%$  とすれば、 $K_i \approx 5\%$

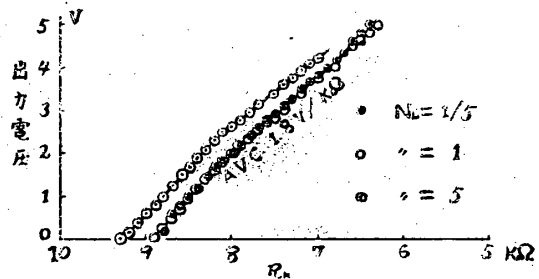
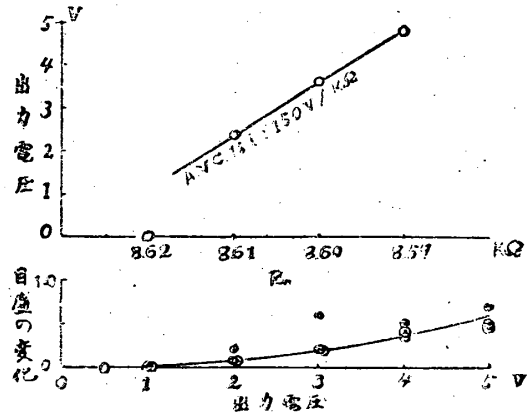
$$\frac{\Delta f}{f} \approx -5.0 K_i^2 \quad (32)$$

この値は6D6の特性から見て略々妥當なものと考えられる。

A. V. C. 回路を外すと  $R_k$  の調節が困難となり、一寸觸ると急激に發振してしまふ。このことは第8圖に明かで、A. V. C. の効果は一目瞭然である。

(2)  $R_k$  を調節して5V(フル・ゲイン)を1Vに絞つても變化は精々0.1目盛で、讀取の誤差と區別が附かない。

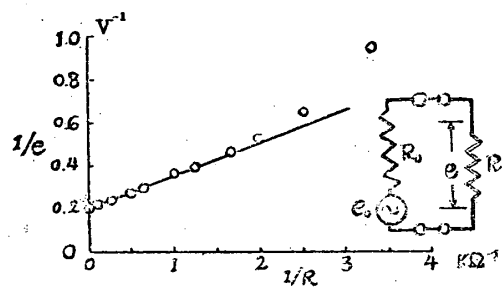
(3)  $1k\Omega$  の抵抗で終端すると、出力は半減するが、周波數は殆んど變らない。また等價出力抵抗は約800 $\Omega$ であることが判つたから、今迄の測定はすべて回路



第8圖 發振強度、歪に依る周波數偏移

開放と看做しうる。なお等價出力抵抗とは出力端子においてみた内部抵抗(リアクタンス殆んどゼロ)で、負荷抵抗及び出力電壓の測定から求められる(第9圖)

$$e = \frac{R}{R+R_0} e_0 \quad \therefore \frac{1}{e} = \frac{1}{e_0} + \frac{R_0}{e_0} \cdot \frac{1}{R} \quad (33)$$



第9圖 等價出力抵抗の計算  $\frac{1}{e} = \frac{1}{e_0} + \left(\frac{R_0}{e_0}\right) \cdot \frac{1}{R}$

(4) 42を挿換えても全く變化がない。6D6は相當むらがあるが、 $R_k$ を調節して出力電壓を一定にしさえすれば、周波數は殆んど變らない。(±0.5%程度)。

(5)  $E_f=6V$ (蓄電池)の場合、 $E_B=150\sim 300V$ に對し周波數の變化は±0.5%以内。

(6) 偶發變動の範圍は約±0.5%で、發振器の信頼度を定める鍵となる。特に高抵抗の使用を豫儀なくされる低音部では變動が大きい。

又バリコン容量の大きい各周波数帯の周波数の低い方で使用した方が、變動は小さく安定である。

これ等の原因による偏移又は變動は精々1%に過ぎないが、周波数特性によるものは、兩限界周波数に近づくと一桁大きな値を取る。

5. 發振條件の吟味, 出力特性

(8) 式より  $A_0 = \frac{\mu R_{eq}}{R_p} \cdot \frac{\mu' R_{eq}'}{R_p'}$ , (21) 式より

$A_0 = \gamma = 3.$

$V_1$  (6D5)  $R_p \gg R_L$ . 又  $R_p \gg R_L$

$\therefore \frac{\mu R_{eq}}{R_p} = \frac{\mu R_L}{R_p + (\mu + 1) R_k} \approx \frac{g_m R_L}{1 + g_m R_k}$  (33)

$R_k$  を變えると饋還率  $\beta = \frac{R_k}{R_L}$  が變化するのみでなく、 $g_m$  自身も變化する。その上振幅に依つても等價  $g_m$  は變わるから、計算は難しい。まして A.V.C を掛けた場合には殆んど手がつけられない。

$V_2$  (42) 三極管接續  $\mu' = 7.5, R_p' = 3 \text{ k}\Omega$

$\therefore R_p' = 9.8 \text{ k}\Omega, R_{eq}' = 3.4 \text{ k}\Omega$

$\therefore \frac{\mu' R_{eq}'}{R_p'} = 2.6 \quad \therefore \frac{g_m R_L}{1 + g_m R_k} = \frac{3}{2.6} = 1.15$

$R_L = 20 \text{ k}\Omega$  とすれば  $\frac{1}{g_m} + R_k = 17.5 \text{ k}\Omega$  (34)

A.V.C. を掛けない時は  $R_k = 8.6 \text{ k}\Omega$  ( $E_k = 12.5 \text{ V}$ ) で發振し始めるから  $g_m \approx 0.12 \text{ m}\Omega$  一方使用状態における 6D6 の靜特性から  $g_m$  を求めると  $g_m \approx 0.15 \text{ m}\Omega$  となり、略々満足すべき一致を得た。

試作發振器の出力特性は、1000 c/s で出力電壓 (無

負荷) が 5 V になるように  $R_k$  を調節してから測定した。

0db=5 V. (第 10 圖) 各周波数帯の出力レベルに略々一定の差のあるのは、 $R$  と  $R'$  が一致せず、しかも  $\frac{R'}{R}$  が周波数帯によつてその値を異にする爲であつて、 $\frac{R'}{R} > 1$  の場合には發振しやすく出力も大きい (第 8 圖, 第 10 圖)。

結局、周波数特性が悪いと周波数偏移が大きくなるだけでなく、出力も低下し、場合によつては發振が止つてしまう事もある。((3)) はこの一例で、遂に測定できなかつた。

6. あとがき

以上の結果を要約すると

(1) RC 發振器の發振周波数は増幅部の周波数特性によつて著しい影響を受け、移相部の R, C 丈けが周波数決定要素であるとはいえない (Wien ブリッジ型では移相回路の Q を高めうるから、周波数偏移は濫に小さくなる。\*)。

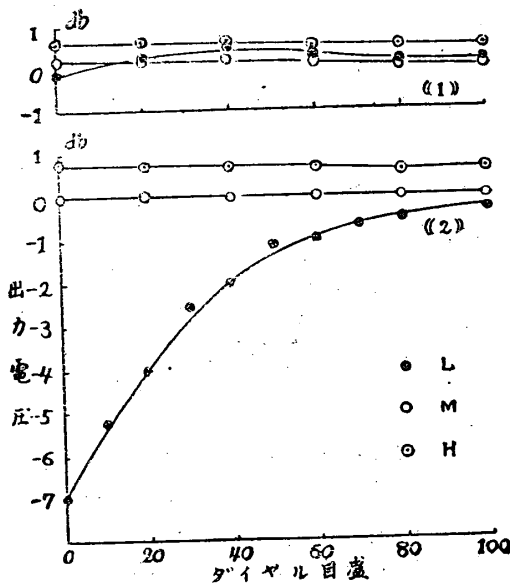
(2) 増幅部の周波数特性が悪いと周波数偏移が大きくなるだけでなく、出力も低下し、カバーしうる周波数帯も狭くなる。

(3) 各種の變動を考慮すれば、(周波数確度)  $\approx \pm 0.5\%$ 。(出力偏差)  $\approx \pm 0.5 \text{ db}$  となる。

終りに臨み、種々御教示を賜つた、五十嵐所員に篤い感謝の意を表する次第である。

文 献

- 1) H.H.Scott: I.R.E. 26 (1938), 225.
- 2) 伊東一郎: 電氣工學海外論抄 2 (1949), 137.
- 3) 村上幸雄: 理工研報告 1 (1947), 9.
- 4) F.E.Terman, 外: I.R.E. 27 (1939), 654.
- 5) 仲丸由正, 外: N.E.C. No. 10 (1950), 4.
- 6) 田中春夫: 電氣通信學會雜誌 32 (1949), 382.
- 7) " : " 33 (1950), 81.
- 8) H.J.Reich: "Theory and Applications of Electron Tubes" (1939) p.175.
- 9) 大内淳義: N.E.C. No. 5 (1949), 8.
- 10) 松本喜十郎: 科學 20 (1950), 463.



第 10 圖 試作發振器の出力特性